

ЛИТЕРАТУРА

1. Керкхоф Ф. Модуляция хрупкой трещины упругими волнами.— В кн.: Физика быстропротекающих процессов. Т. 2. М., «Мир», 1971.
2. Смит К. Основы физики металлов. М., 1959.
3. Златин Н. А. и др. Временные закономерности процесса разрушения металлов при интенсивных нагрузках.— ФТТ, 1974, т. 16, вып. 6.
4. Бахрах С. М. и др. Исследование свойств металлов в условиях динамического многосоставного растяжения.— В кн.: Тезисы докл. I Всесоюз. симпозиума по импульсному давлению. М., 1973.
5. Мирзаев И. М., Никифоровский В. С. Исследование распространения плоских волн и разрушения в упругих и неидеально упругих конструкциях.— ФТПРПИ, 1973, № 2.
6. Никифоровский В. С., Сабитова С. И., Стреляев А. Е. О постановке некоторой полуобратной задачи изучения прочностных характеристик материалов.— В кн.: V Всесоюз. симпозиум по распространению упругих и упругопластических волн. Алма-Ата, «Наука», 1971. К вопросу о разрушении твердых тел при динамическом нагружении.—ФТПРПИ, 1970, № 5.
7. Schall R., Thomer G. Zur Bestimmung Dynamischer Zugfestigkeiten aus dem Abplatz-effect.—«Wehrtechnische Monatshefte», 1965, N. 7.
8. Kumaо H. Fragmentation of rock through blasting.—«J. Industr. Explos. Soc. Japan», 1956, N. 1.
9. Юрьевич Г. Г., Беляков В. Д., Севастьянов Б. Н. Охрана горных выработок от воздействия взрывов. М., «Недра», 1972.
10. Broberg K. Some aspects of the mechanism of scabbing.— In: Stress wave propagation in materials. N. Y., 1960.
11. Кольский Г., Рейдер Д. Волны напряжений и разрушение.— В кн.: Разрушение. Ч. 1. М., «Мир», 1973.
12. Огурцов К. И. Волны напряжений в упругой плите.— ПММ, 1960, т. XXIV, вып. 3.
13. Никифоровский В. С., Онисько Н. И. К вопросу о тыльном отколе в упругой пли-те.— ФТПРПИ, 1967, № 6.
14. Гаек Ю. В. Исследование процесса разрушения уступа и выбор рационального замедления при взрывании скважинных зарядов на карьерах. Автореф. на соиск. учен. степени канд. техн. наук. Ленингр. ун-т, 1961.
15. Беляков В. Д. Исследование методом фотоупругости действия упругих волн напряжений на обнаженные поверхности горных выработок. Автореф. на соиск. учен. степени канд. техн. наук. М., ИГД АН СССР, 1968.

УДК 534.26

О ДИНАМИЧЕСКОМ ВЗАИМОДЕЙСТВИИ СИСТЕМ ТРЕЩИН В УСЛОВИЯХ АНТИПЛОСКОЙ ДЕФОРМАЦИИ

П. А. Мартынюк, Э. Б. Поляк

(Новосибирск)

Задачи о динамическом воздействии на изолированную трещину, расположенную в бесконечном упругом теле, решались в работах [1—4]. Представляет интерес получить решение динамических задач, отвечающих более сложной геометрии, и выяснить влияние наличия соседних трещин, систем трещин, границ тела.

Для антиплоской деформации математическое описание упругой среды существенно проще, чем для плоской деформации, но характерные черты явления она отражает верно. В данном случае удается получить точные решения предельных задач, когда длина трещин много больше или расстояния между ними, или расстояния до границы полупространства. Использованный метод решения без особых затруднений переносится и на случай плоской деформации.

1. Система параллельных трещин. Рассматривается упругое изотропное пространство, содержащее бесконечно большое число трещин длиной $2l_0$ и $2L$, расположенных параллельно друг другу на расстоянии $2h$ одна

от другой. В условиях антиплоской деформации единственная отличная от нуля компонента вектора перемещения $w = w(x, y, t)$. Введем безразмерные переменные

$$(1.1) \quad \langle L, h, x, y, w \rangle' = \langle L, h, x, y, w \rangle / l_0; \tau' = \tau / \mu; t' = tc / l_0,$$

где c — скорость поперечных волн; μ — модуль сдвига. Штрихи в дальнейшем для простоты записи опустим. Тогда уравнение движения изотропного упругого тела и ненулевые компоненты тензора напряжения имеют вид

$$(1.2) \quad \partial^2 w / \partial x^2 + \partial^2 w / \partial y^2 - \partial^2 w / \partial t^2 = 0; \tau_{yz} = \partial w / \partial y; \tau_{xz} = \partial w / \partial x.$$

Полагаем, что при $t < 0$ $w = 0$ всюду, а при $t = 0$ $w = 0$ и $w_t = 0$ и прилагаемые напряжения τ_{yz} — четные функции по x . В силу симметрии задачи относительно любой прямой, проходящей через одну из трещин, ограничимся рассмотрением бесконечной полосы $-h < y < +h$. Границные условия при $t > 0$ имеют вид

$$(1.3) \quad \begin{aligned} \tau_{yz} &= \begin{cases} -p(x, t), & y = h, |x| < 1, \\ +p(x, t), & y = -h, |x| < L; \end{cases} \\ w &= 0, \quad y = \pm h, \quad |x| > 1 \text{ и } y = \pm h, \quad |x| > L. \end{aligned}$$

Сделав интегральные преобразования Лапласа по t и косинус-преобразование Фурье по x , для уравнения движения (1.2) получим

$$\partial^2 \bar{w} / \partial y^2 - (s^2 + p^2) \bar{w} = 0, \quad \bar{w} = w(s, y, p).$$

Общее решение этого уравнения

$$w(s, y, p) = A(s, p) \operatorname{sh} \alpha y + B(s, p) \operatorname{ch} \alpha y, \quad \alpha = \sqrt{s^2 + p^2}.$$

Подставляя его в (1.3), получим систему уравнений для определения $A(s, p)$ и $B(s, p)$

$$(1.4) \quad \begin{aligned} 2/\pi \int_0^\infty [A(s, p) \operatorname{sh} \alpha h + B(s, p) \operatorname{ch} \alpha h] \cos(sx) ds &= 0, \quad x > 1; \\ 2/\pi \int_0^\infty [-A(s, p) \operatorname{sh} \alpha h + B(s, p) \operatorname{ch} \alpha h] \cos(sx) ds &= 0, \quad x > L; \\ 2/\pi \int_0^\infty \alpha [A(s, p) \operatorname{ch} \alpha h + B(s, p) \operatorname{sh} \alpha h] \cos(sx) ds &= -P(x, p), \quad 0 < x < 1; \\ 2/\pi \int_0^\infty \alpha [A(s, p) \operatorname{ch} \alpha h - B(s, p) \operatorname{sh} \alpha h] \cos(sx) ds &= \mp \bar{P}(x, p), \quad 0 < x < L, \end{aligned}$$

где

$$P(x, p) = \int_0^\infty p(x, t) e^{-pt} dt.$$

Из теории трещин известно, что перемещения в носике трещины должны вести себя следующим образом:

$$\begin{aligned} w(x, h, p) &\sim (1 - x^2)^{1/2}, \quad x = 1 - \varepsilon; \\ w(x, -h, p) &\sim (L^2 - x^2)^{1/2}, \quad x = L - \varepsilon; \quad \varepsilon \ll 1. \end{aligned}$$

Введем в рассмотрение две функции $\varphi(t, p)$ и $\psi(t, p)$, определенные по t на интервалах $[0, 1]$ и $[0, L]$ соответственно равенствами

$$(1.5) \quad w(x, h, p) = \int_x^1 \frac{t\varphi(t, p)}{\sqrt{t^2 - x^2}} dt; \quad w(x, -h, p) = \int_x^L \frac{t\psi(t, p)}{\sqrt{t^2 - x^2}} dt.$$

С использованием (1.5) первые два уравнения из (1.4) можно записать в виде

$$(1.6) \quad A(s, p) \operatorname{sh} \alpha h + B(s, p) \operatorname{ch} \alpha h = \pi/2 \int_0^1 t\varphi(t, p) J_0(st) dt = \pi\Phi/2;$$

$$-A(s, p) \operatorname{sh} \alpha h + B(s, p) \operatorname{ch} \alpha h = \pi/2 \int_0^L t\psi(t, p) J_0(st) dt = \pi\Psi/2.$$

Отсюда находим $A(s, p)$ и $B(s, p)$

$$(1.7) \quad A(s, p) = \pi/4 \cdot [\Phi - \Psi] \operatorname{sh}^{-1} \alpha h; \quad B(s, p) = \pi/4 \cdot [\Phi + \Psi] \operatorname{ch}^{-1} \alpha h.$$

Проинтегрировав третье и четвертое уравнения из (1.4) по x от 0 до x и используя (1.6), (1.7), получим

$$(1.8) \quad \int_0^\infty \frac{\alpha F}{2s} \Phi \sin(sx) ds - \int_0^\infty \frac{\alpha G}{2s} \Psi \sin(sx) ds = - \int_0^x P(x, p) dx;$$

$$\int_0^\infty \frac{\alpha G}{2s} \Phi \sin(sx) ds - \int_0^\infty \frac{\alpha F}{2s} \Psi \sin(sx) ds = + \int_0^x P(x, p) dx,$$

где $F = \operatorname{cth} \alpha h + \operatorname{th} \alpha h$; $G = \operatorname{cth} \alpha h - \operatorname{th} \alpha h$. Первое уравнение справедливо при $0 \leq x \leq 1$, а второе — при $0 \leq x \leq L$.

Приведем уравнения (1.8) к двум интегральным уравнениям Фредгольма второго рода. Покажем это на примере первого уравнения из (1.8). Введем функцию $g(s, p)$ равенством

$$(1.9) \quad \alpha F/(2s) = 1 + g(s, p), \quad g(s) \sim 0(s^{-2}) \text{ при } s \rightarrow \infty.$$

Подставляя ее в первое уравнение из (1.8), получаем интегральное уравнение Абеля

$$\int_0^x \frac{t\varphi(t, p)}{\sqrt{t^2 - x^2}} dt = H(x), \quad 0 \leq x \leq 1;$$

$$H(x) = - \int_0^x P(x, p) dx - \int_0^1 t\varphi(t, p) dt \int_0^\infty g(s, p) J_0(st) \sin(sx) ds +$$

$$+ \int_0^L t\psi(t, p) dt \int_0^\infty \frac{\alpha G}{2s} J_0(st) \sin(sx) ds,$$

решение которого $\varphi(t, p) = 2/\pi \int_0^t \frac{H'(x) dx}{\sqrt{t^2 - x^2}}$. Подставив сюда $H'(x)$ и проинтегрировав по x , получим

$$(1.10) \quad \varphi_1(t, p) + \int_0^1 \varphi_1(\tau, p) K_2(\tau, t) d\tau - \int_0^L \psi_1(\tau, p) K_1(\tau, t) d\tau = -\sqrt{t},$$

$$0 \leq t \leq 1.$$

Совершенно аналогично и для второго уравнения из (1.8) получаем при $0 \leq t \leq L$

$$(1.11) \quad \psi_1(t, p) + \int_0^L \psi_1(\tau, p) K_2(\tau, t) d\tau - \int_0^t \varphi_1(\tau, p) K_1(\tau, t) d\tau = \pm \sqrt{t},$$

где $\begin{bmatrix} \varphi_1(t, p) \\ \psi_1(t, p) \end{bmatrix} = \sqrt{t} \begin{bmatrix} \varphi(t, p) \\ \psi(t, p) \end{bmatrix} \left[2/\pi \int_0^t \frac{P(x, p)}{\sqrt{t^2 - x^2}} dx \right]^{-1};$

$$(1.12) \quad K_1(\tau, t) = \sqrt{\tau t} \int_0^\infty \alpha G/2 \cdot J_0(st) J_0(s\tau) ds;$$

$$K_2(\tau, t) = \sqrt{\tau t} \int_0^\infty g(s, p) s J_0(st) J_0(s\tau) ds.$$

В частном случае $L = 1$ уравнения (1.10), (1.11) для одинаковых знаков в правых частях сводятся к уравнению

$$(1.13) \quad \varphi_1(t, p) + \int_0^1 \varphi_1(\tau, p) K_3(\tau, t) d\tau = -\sqrt{t},$$

$$K_3(\tau, t) = \sqrt{\tau t} \int_0^\infty [\alpha \operatorname{th} \alpha h - s] J_0(st) J_0(s\tau) ds,$$

а для разных знаков в правых частях — к уравнению

$$(1.14) \quad \varphi_1(t, p) + \int_0^1 \varphi_1(\tau, p) K_4(\tau, t) d\tau = -\sqrt{t},$$

$$K_4(\tau, t) = \sqrt{\tau t} \int_0^\infty [\alpha \operatorname{cth} \alpha h - s] J_0(st) J_0(s\tau) ds.$$

Эти уравнения отвечают задаче о центрально расположенной трещине в слое толщиной $2h$, границы которой свободны ($\tau_{yz} = 0$ (1.13)) и зажаты ($w = 0$ (1.14)).

Основной характеристикой задач теории трещин является коэффициент интенсивности напряжения K в носике трещины при особенности порядка $(\Delta x)^{-1/2}$ ($L \gg 1$, $\Delta x \ll 1$). Рассмотрим выражения для $\tau_{yz}(x, \pm \pm h, p)$, покажем, что они имеют особенность нужного порядка, и найдем коэффициенты при этой особенности

$$\tau_{yz}(x, h, p) = \int_0^\infty \alpha F/2 \cdot \Phi \cos(sx) ds - \int_0^\infty \alpha G/2 \cdot \Psi \cos(sx) ds,$$

$$\tau_{yz}(x, -h, p) = - \int_0^\infty \alpha F/2 \cdot \Psi \cos(sx) ds + \int_0^\infty \alpha G/2 \cdot \Phi \cos(sx) ds.$$

Проинтегрировав в (1.6) по частям, получим

$$\Phi = 1/s \cdot [\varphi(1, p) J_1(s) - \int_0^1 \varphi'(t, p) t J_1(st) dt];$$

$$\Psi = 1/s \cdot \left[\psi(L, p) L J_1(sL) - \int_0^L \psi'(t, p) t J_1(st) dt \right].$$

Очевидно, что вторые слагаемые в выражениях для τ_{yz} не имеют особенностей. Беря в выражениях для Φ и Ψ неинтегральные части и учитывая (1.9), запишем только члены, дающие особенность,

$$\begin{aligned}\tau_{yz}(x, h, p) &= \int_0^\infty \varphi(1, p) J_1(s) \cos(sx) ds + \dots, \\ \tau_{yz}(x, -h, p) &= - \int_0^\infty \psi(L, p) LJ_1(Ls) \cos(sx) ds + \dots\end{aligned}$$

Используя известную формулу [5]

$$\int_0^\infty J_1(Ls) \cos(sx) ds = - \frac{L}{\sqrt{x^2 - L^2} [x + \sqrt{x^2 - L^2}]},$$

можно выписать коэффициенты при особенностях в носиках трещин

$$\begin{aligned}(1.15) \quad \tau_{yz}(l_0 + \Delta x, h, p) &\simeq - \frac{\varphi(1, p)}{\sqrt{2}} \sqrt{\frac{l_0}{\Delta x}} = \\ &= \frac{K_1(p)}{\sqrt{\Delta x}} = - \frac{P_1 \varphi_1(1, p)}{\sqrt{2}} \sqrt{l_0} (\Delta x)^{-1/2}, \\ \tau_{yz}(L + \Delta x, -h, p) &\simeq \frac{\psi(L, p)}{\sqrt{2}} \sqrt{\frac{L l_0}{\Delta x}} = \frac{K_2(p)}{\sqrt{\Delta x}} = \\ &= \frac{P_L \psi_1(L, p)}{\sqrt{2}} \sqrt{l_0} (\Delta x)^{-1/2},\end{aligned}$$

где

$$P_1 = 2/\pi \int_0^1 \frac{P(x, p)}{\sqrt{1-x^2}} dx; P_L = 2/\pi \int_0^L \frac{P(x, p)}{\sqrt{L^2-x^2}} dx.$$

Уравнения (1.10)–(1.14) считались численно. Ядра уравнений $K_i(\tau, t)$ ($i = 2, 3, 4$) можно записать в виде, более удобном для вычисления на машине,

$$(1.16) \quad K_i(\tau, t) = p^z \sqrt{\tau t} \left\{ \begin{aligned} &1/2 \left[\begin{aligned} &I_0\left(\frac{\tau p}{2}\right) K_0\left(\frac{tp}{2}\right) \\ &I_0\left(\frac{tp}{2}\right) K_0\left(\frac{\tau p}{2}\right) \end{aligned} \right]_{t<\tau}^{\tau < t} + \\ &+ \int_0^\infty \omega_i(\xi) J_0(\xi pt) J_0(\xi p\tau) d\xi \end{aligned} \right\},$$

$$\omega_2(\xi) = \sqrt{1+\xi^2}/2 \cdot [\cosh ph \sqrt{1+\xi^2} + \operatorname{th} ph \sqrt{1+\xi^2}] - \xi - 2\xi/(4\xi^2 + 1),$$

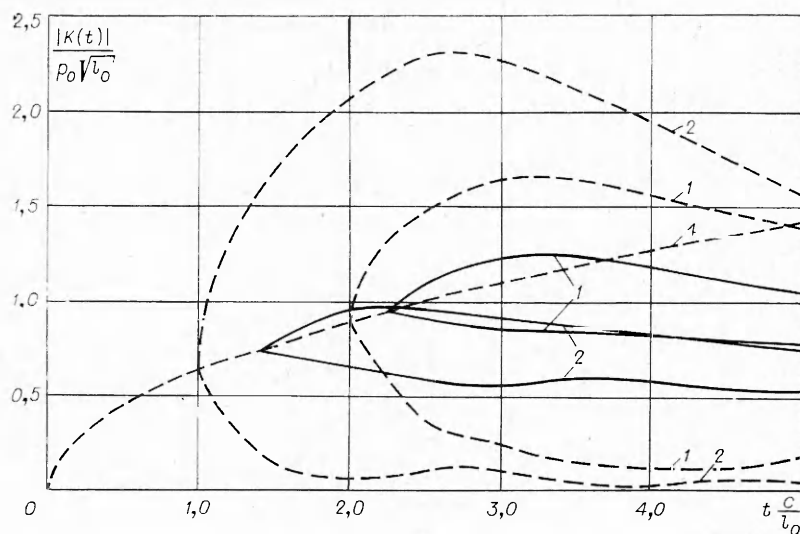
$$\omega_3(\xi) = \sqrt{1+\xi^2} \operatorname{th} ph \sqrt{1+\xi^2} - \xi - 2\xi/(4\xi^2 + 1),$$

$$\omega_4(\xi) = \sqrt{1+\xi^2} \operatorname{cth} ph \sqrt{1+\xi^2} - \xi - 2\xi/(4\xi^2 + 1),$$

$$\omega_i(\xi) \sim 0(\xi^{-5}) \text{ при } \xi \rightarrow \infty.$$

Здесь $I_0(x)$, $K_0(x)$ — цилиндрические функции мнимого аргумента. При расчетах всюду полагалось $p(x, t) = p_0$.

Для построения зависимости $K_i(t)$ ($i = 1, 2$) по формулам (1.15) использовался метод численного нахождения обратного преобразования Лапласа, изложенный в [6].

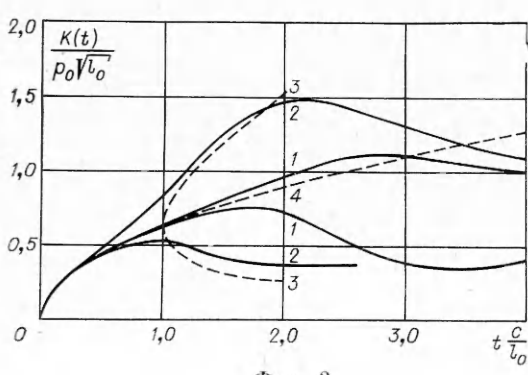


Фиг. 1

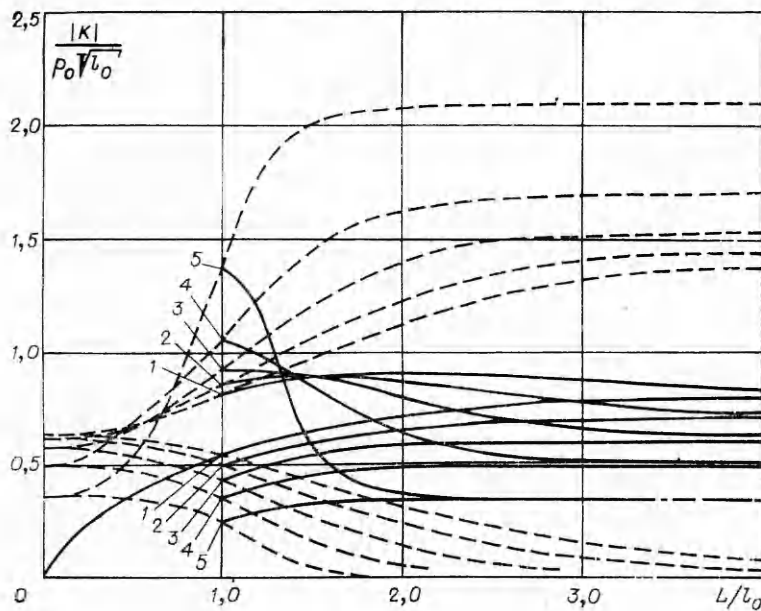
В качестве примера на фиг. 1 представлены результаты счета на ЭВМ уравнений (1.10)–(1.12) и последующего численного обращения преобразования Лапласа. Штриховые кривые 1, 2 изображают значения $K_1(t)/(p_0 \sqrt{l_0})$, а сплошные $K_2(t)/(p_0 \sqrt{l_0})$. Кривые построены при $L/l_0 = 2$; 1 отвечают отношению $l_0/h = 1$, а 2 — отношению $l_0/h = 2$. Верхние кривые соответствуют одинаковым знакам действующих напряжений на трещинах, а нижние — противоположным. В последнем случае особенно наглядно проявляется экранирующий эффект длиной трещины, ее наличие приводит к резкому падению значения коэффициента интенсивности напряжения в носике короткой трещины. На фиг. 2 сплошными линиями изображены зависимости $K(t)/(p_0 \sqrt{l_0})$ от времени при $l_0/h = 1$ (кривые 1) и $l_0/h = 2$ (кривые 2). При этом верхние кривые соответствуют свободным границам слоя, т. е. решению уравнения (1.13), а нижние — границам слоя, жестко заделанным, т. е. решению уравнения (1.14).

На фиг. 3 изображено статическое решение, получающееся из (1.10)–(1.12) в результате предельного перехода при $p \rightarrow 0$, что соответствует $t \rightarrow \infty$. Сплошные линии изображают зависимость отношения $K_2/(p_0 \sqrt{l_0})$,

а штриховые — $K_1/(p_0 \sqrt{l_0})$ от величины L/l_0 . Кривые 1–5 отвечают значениям $l_0/h = 1,0; 0,8; 0,6; 0,4; 0,2$ соответственно. Верхние кривые соответствуют одинаковым знакам у напряжений, действующих на трещинах, а нижние — противоположным знакам. На фиг. 4 изображены зависимости коэффициентов интенсивности напряжения $K/(p_0 \sqrt{l_0})$ статической задачи от величины h/l_0 , полученные в результате чис-



Фиг. 2



Фиг. 3

ленного счета уравнений (1.13), (1.14) при $p \rightarrow 0$. Верхняя кривая отвечает условию $\tau_{yz} = 0$ на границах слоя, а нижняя — граничному условию $w = 0$. Построенные решения совпадают с точными решениями соответствующих статических задач.

2. Трещина, параллельная границе полупространства. Рассматривается упругое изотропное полупространство $y \geq -h$, содержащее изолированную трещину длиной 2 и расположенную при $y = 0$, $|x| < 1$. Полагаем, что при $t > 0$ на трещине действует напряжение $\tau_{yz} = \mp p(x, t)$ соответственно на верхнем и нижнем берегах разреза. Рассматриваемую область разобьем на две. Первая — бесконечная полоса $-h < y < 0$. Величины, относящиеся к ней, имеют индекс 1. Вторая область с индексом 2 — полуплоскость $y > 0$. Тогда граничные условия при $t > 0$ следующие:

$$(2.1) \quad w_{(1)} = 0 \text{ при } y = -h, |x| < \infty; \quad \tau_{yz} = \mp p(x, t) \text{ при } y = 0, |x| < 1; \\ w_{(1)} = w_{(2)} = 0 \text{ при } y = 0, |x| > 1; \quad \tau_{(1)yz} = \tau_{(2)yz} = 0 \text{ при } y = 0, |x| < \infty.$$

Вместо первого граничного условия можно брать

$$(2.2) \quad \tau_{(1)yz} = 0 \text{ при } y = -h, |x| < \infty.$$

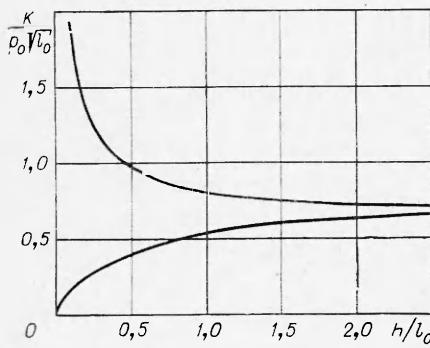
Общие решения уравнения движения в соответствующих областях

$$w_{(1)}(s, y, p) = A_1(s, p) \operatorname{sh} \alpha y + B_1(s, p) \operatorname{ch} \alpha y; \\ w_{(2)}(s, y, p) = A_2(s, p) e^{-\alpha y}.$$

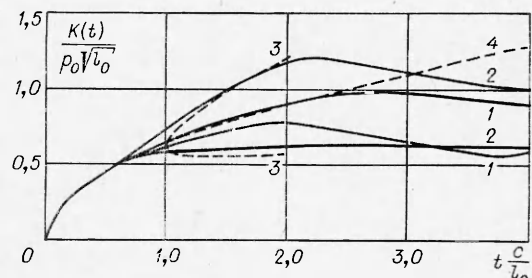
Подставляя их в граничные условия (2.1), получаем систему уравнений

$$\int_0^\infty B(s, p) \cos(sx) ds = 0, \quad |x| > 1; \\ \int_0^\infty B(s, p) 2\alpha/[1 + \operatorname{th} \alpha h] \cdot \cos(sx) ds = \pi/2 \cdot P(x, p), \quad |x| < 1,$$

где $2B(s, p) = A_1(s, p)[1 + \operatorname{th} \alpha h]$.



Фиг. 4



Фиг. 5

Так же, как и раньше, введем в рассмотрение функцию $\varphi(t, p)$, определенную по t на интервале $[0, 1]$ равенством

$$w_{(1)}(x, 0, p) - w_{(2)}(x, 0, p) = \int_x^1 \frac{t\varphi(t, p)}{\sqrt{t^2 - x^2}} dt.$$

Поступая аналогично вышеизложенному, получаем для нее интегральное уравнение Фредгольма второго рода

$$(2.3) \quad \varphi_1(t, p) + \int_0^1 \varphi_1(\tau, p) K_1(\tau, t) d\tau = -Vt, \quad 0 \leq t \leq 1,$$

$$K_1(\tau, t) = V\sqrt{\tau t} \int_0^\infty \{2\alpha [1 + \operatorname{th} \alpha h]^{-1} - s\} J_0(st) J_0(s\tau) ds.$$

Используя граничное условие (2.2), получим

$$(2.4) \quad \varphi_1(t, p) + \int_0^1 \varphi_1(\tau, p) K_2(\tau, t) d\tau = -Vt, \quad 0 \leq t \leq 1,$$

$$K_2(\tau, t) = V\sqrt{\tau t} \int_0^\infty \{2\alpha [1 + \operatorname{cth} \alpha h]^{-1} - s\} J_0(st) J_0(s\tau) ds,$$

где $\varphi_1(t, p)$ определена равенством (1.11). Коэффициент интенсивности напряжения при особенности в носике трещины определяется выражением

$$(2.5) \quad K(p) = -P_1 \varphi_1(1, p) V l_0 / 2,$$

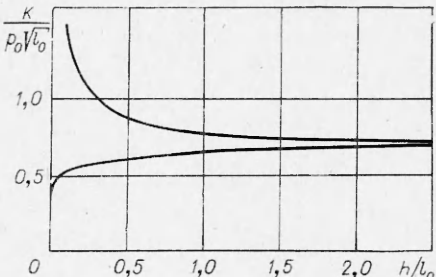
где $\varphi_1(1, p)$ — решения уравнений (2.3), (2.4). Для удобства вычислений на ЭВМ $K_i(\tau, t)$ ($i = 1, 2$) можно записать в виде (1.16), где в качестве $\omega_i(\xi)$ брать надо значения

$$\omega_1(\xi) = 2V\sqrt{1 + \xi^2} [1 + \operatorname{th} ph V\sqrt{1 + \xi^2}]^{-1} - \xi - 2\xi/(4\xi^2 + 1),$$

$$\omega_2(\xi) = 2V\sqrt{1 + \xi^2} [1 + \operatorname{cth} ph V\sqrt{1 + \xi^2}]^{-1} - \xi - 2\xi/(4\xi^2 + 1).$$

На фиг. 5 сплошными линиями изображены результаты численного счета зависимости отношения $K(t)/(p_0 V l_0)$ от времени с использованием техники численного нахождения обратного преобразования Лапласа при $p(x, t) = p_0$. Кривые 1 отвечают отношению $l_0/h = 1$, а кривые 2 — отно-

шению $l_0/h = 2$. Верхние кривые соответствуют граничному условию $\tau_{yz} = 0$ при $y = -h$, а нижние — $w = 0$ при $y = -h$. На фиг. 6 представлены статические решения, полученные из (2.3), (2.4) при $p \rightarrow 0$. Верхняя кривая изображает изменение отношения $K/(\rho_0 V l_0)$ от h/l_0 с условием $\tau_{yz} = 0$ при $y = -h$, а нижняя кривая отвечает условию $w = 0$ при $y = -h$.



Фиг. 6

3. Точные решения предельных задач ($l_0 \gg h$)

Рассмотрим задачу о динамическом нагружении полубесконечной трещины, расположенной центрально в слое толщиной $2h$. Проведем такое же обезразмеривание, как (1.1), заменив при этом l_0 на h . Трещина расположена при $y = 0$ и $x < 0$. В качестве рассматриваемой области возьмем $0 < y < 1$. Границные условия задачи при $t > 0$ следующие:

$$(3.1) \quad \begin{aligned} \tau_{yz} &= -p_0, \quad y = 0, \quad x < 0; \\ w &= 0, \quad y = 0, \quad x > 0; \\ \tau_{yz} &= 0, \quad y = 1, \quad |x| < \infty. \end{aligned}$$

Вместо последнего условия в (3.1) можно взять

$$(3.2) \quad w = 0, \quad y = 1, \quad |x| < \infty.$$

Кроме граничных условий, искомое решение должно удовлетворять дополнительным условиям на краю разреза

$$(3.3) \quad \begin{aligned} \tau_{yz} &\sim x^{-1/2}, \quad x \rightarrow 0, \quad x > 0; \\ w &\sim x^{1/2}, \quad x \rightarrow 0, \quad x < 0. \end{aligned}$$

После интегрального преобразования Лапласа по t и преобразования Фурье по x для уравнения (1.2) получаем обыкновенное дифференциальное уравнение

$$\frac{d^2w}{dy^2} - (\lambda^2 + p^2)w = 0, \quad w = w(\lambda, y, p),$$

где $\lambda = \sigma + i\tau$ — комплексная переменная, а его общее решение

$$w(\lambda, y, p) = A(\lambda, p) \operatorname{sh} \alpha y + B(\lambda, p) \operatorname{ch} \alpha y, \quad \alpha = \sqrt{\lambda^2 + p^2}.$$

Используя граничные условия (3.1), получим функциональное уравнение Винера — Хонфа для неизвестных функций τ_+ и w_-

$$(3.4) \quad -\alpha \operatorname{th} \alpha \cdot w_-(\lambda, p) = \tau_+(\lambda, p) + iP_0/(\lambda p), \quad P_0 = (2\pi)^{-1/2}p_0,$$

$$\text{где } \tau_+ = \tau_+(\lambda, p) = (2\pi)^{-1/2} \int_0^\infty \tau_{yz}(x, 0, p) e^{i\lambda x} dx;$$

$$w_- = w_-(\lambda, p) = (2\pi)^{-1/2} \int_{-\infty}^0 w(x, 0, p) e^{i\lambda x} dx.$$

Уравнение (3.4) выполняется в полосе $-\gamma_0 < \operatorname{Im} \lambda < 0$ ($\gamma_0 > 0$), $-\infty < \operatorname{Re} \lambda < +\infty$ комплексной плоскости λ , причем $\tau_+(\lambda, p)$ — регулярная функция в области $\operatorname{Im} \lambda > -\gamma_0$, а $w_-(\lambda, p)$ — регулярная функция в области $\operatorname{Im} \lambda < 0$. Представим функцию $K(\lambda) = \alpha \operatorname{th} \alpha$ в виде произве-

дения $K(\lambda) = K_+(\lambda)K_-(\lambda)$, где $K_+(\lambda)$ — функция регулярная и не имеющая нулей в области $\operatorname{Im} \lambda > -\gamma_0$, а $K_-(\lambda)$ — в области $\operatorname{Im} \lambda < 0$. Следуя [7], получим

$$(3.5) \quad K_+(-\lambda) = K_-(\lambda),$$

$$K_+(\lambda) = (p - i\lambda) \prod_{n=1}^{\infty} \frac{\sqrt{1 + p^2 \pi^{-2} n^{-2}} - i\lambda (\pi n)^{-1}}{\sqrt{1 + p^2 \pi^{-2} (n-1/2)^{-2}} - i\lambda \pi^{-1} (n-1/2)^{-1}}.$$

Используя такое представление $K(\lambda)$, уравнение (3.4) запишем в виде

$$(3.6) \quad -w_-(\lambda, p) K_-(\lambda) - iP_0/p \cdot \chi_-(\lambda) = \tau_+(\lambda, p) K_+^{-1}(\lambda) +$$

$$+ iP_0/p \cdot \chi_+(\lambda) = F(\lambda),$$

$$\text{где } [\lambda K_+(\lambda)]^{-1} = \lambda^{-1} [K_+^{-1}(\lambda) - K_+^{-1}(0)] + \lambda^{-1} K_+^{-1}(0) =$$

$$= \chi_+(\lambda) + \chi_-(\lambda).$$

Левая часть уравнения представляет собой функцию, аналитическую в области $\operatorname{Im} \lambda < 0$, а правая часть — в области $\operatorname{Im} \lambda > -\gamma_0$. Аналитическим продолжением функции $F(\lambda)$ можно определить на всей плоскости λ , причем $F(\lambda)$ будет регулярна во всей плоскости λ .

Найдем асимптотику $K_+(\lambda)$ при $\lambda \rightarrow \infty$ и $\operatorname{Im} \lambda > 0$. Для этого сравним функцию $K_1(\lambda) = K_+^{-1}(\lambda)(p - i\lambda)$ при $\lambda = i\tau$ с функцией

$$K_0(\tau) = \prod_{n=1}^{\infty} \frac{1 + \tau \pi^{-1} (n-1/2)^{-1}}{1 + \tau (\pi n)^{-1}} = \tau / \sqrt{\pi} \cdot \Gamma(\tau/\pi) \Gamma^{-1}(1/2 + \tau/\pi).$$

Можно показать, что $\lim_{\tau \rightarrow \infty} K_1(\tau) \cdot K_0^{-1}(\tau) = 1$. Используя асимптотику Г-функции, получим, что $K_0(\tau) = \sqrt{\tau}$ при $\tau \rightarrow \infty$. Отсюда следует

$$(3.7) \quad K_+(\lambda) = \sqrt{\tau} \text{ при } \lambda = i\tau, \tau \rightarrow \infty.$$

Из условий (3.3), используя соотношения, связывающие асимптотику функции с асимптотикой ее преобразования Фурье [7], получим

$$(3.8) \quad \begin{aligned} \tau_+(\lambda, p) &\sim \lambda^{-1/2} \text{ при } \lambda \rightarrow \infty, \operatorname{Im} \lambda > -\gamma_0; \\ w_-(\lambda, p) &\sim \lambda^{-3/2} \text{ при } \lambda \rightarrow \infty, \operatorname{Im} \lambda < 0. \end{aligned}$$

Соотношения (3.7), (3.8) позволяют написать следующие неравенства:

$$| -w_-(\lambda, p) K_-(\lambda) - iP_0/p \cdot \chi_-(\lambda) | < C |\lambda|^{-1}; \operatorname{Im} \lambda < 0, |\lambda| \rightarrow \infty;$$

$$| \tau_+(\lambda, p) K_+^{-1}(\lambda) + iP_0/p \cdot \chi_+(\lambda) | < C |\lambda|^{-1}; \operatorname{Im} \lambda > -\gamma_0, |\lambda| \rightarrow \infty, C = \text{const.}$$

Тогда по обобщенной теореме Лиувилля функция $F(\lambda)$ из (3.6) равняется нулю и, следовательно,

$$w_-(\lambda, p) = -iP_0/p \cdot \chi_-(\lambda) K_-^{-1}(\lambda); \tau_+(\lambda, p) = -iP_0/p \cdot \chi_+(\lambda) K_+(\lambda).$$

Отсюда, используя (3.6), (3.7), получим

$$(3.9) \quad \tau_+(\lambda, p) = -p_0/p \cdot \{ \tau^{-1} - K_+^{-1}(0) \tau^{-1/2} \} \text{ при } \lambda = i\tau, \tau \rightarrow \infty.$$

Используем формулы, связывающие асимптотики функции и ее преобразования Фурье [7]:

$$\begin{aligned} \tau(x) &\sim Ax^\eta, \quad x \rightarrow 0, x > 0; \\ \tau_+(\lambda) &\sim A(2\pi)^{-1/2} \Gamma(1 + \eta) e^{\pi i(1+\eta)/2} \lambda^{-1-\eta}, \quad \lambda \rightarrow \infty. \end{aligned}$$

Как следует из (3.9), $\lambda = i\tau$, $\eta = -1/2$, при этом A равняется коэффициенту интенсивности напряжения $K(p)$ при особенности порядка $(\Delta x)^{-1/2}$ ($\Delta x \ll 1$) в носике трещины

$$(3.10) \quad K_1(p) = p_0/p \cdot \pi^{-1/2} \sqrt{p \operatorname{th} p}.$$

Если в (3.1) вместо последнего граничного условия взять условие (3.2), то решение задачи проводится так же и коэффициент интенсивности напряжения при этом

$$(3.11) \quad K_2(p) = p_0/p \cdot \pi^{-1/2} \sqrt{p \operatorname{th} p}.$$

Задача о динамическом нагружении полубесконечной трещины, параллельной границе полуциркуляра и отстоящей от нее на расстоянии $h = 1$, является предельной, когда $l_0 \gg h$, для задачи, рассмотренной в п. 2. Рассматривается область $-1 < y < \infty$ с разрезом при $y = 0$, $x < 0$. Как и выше, эта область разбивается на две: первая с индексом (1) $0 > y > -1$, вторая — с индексом (2) $y > 0$, $|x| < \infty$. Граничные условия задачи при $t > 0$ следующие:

$$(3.12) \quad \begin{aligned} w_{(1)} &= 0, & y = -1, & |x| < \infty; \\ \tau_{(1)yz} &= -p_0, & y = 0, & x < 0; \\ \tau_{(1)yz} - \tau_{(2)yz} &= 0, & y = 0, & |x| < \infty; \\ v = w_{(1)} - w_{(2)} &= 0, & y = 0, & x > 0. \end{aligned}$$

Вместо первого граничного условия можно взять

$$(3.13) \quad \tau_{(1)yz} = 0, \quad y = -1, \quad |x| < \infty.$$

Для краевой задачи (3.12) уравнение Винера — Хопфа имеет вид

$$\alpha_1 1 + \operatorname{th} \alpha^{-1} v_-(\lambda, p) = \tau_+(\lambda, p) + iP_0/(\lambda p).$$

Решение проводится, как и выше, при этом

$$K(\lambda) = \alpha_1 1 + \operatorname{th} \alpha^{-1} = K_+(\lambda)K_-(\lambda), \quad K_+(-\lambda) = K_-(\lambda),$$

$$K_+(\lambda) = \sqrt{p - i\lambda} e^{-\varphi(\lambda) + i\alpha/\pi \cdot \ln [p^{-1}(-i\lambda + i\alpha)]} \prod_{n=1}^{\infty} [\sqrt{1 + p^2 \pi^{-2} (n - 1/2)^{-2}} - i\lambda \pi^{-1} (n - 1/2)^{-1}] e^{i\lambda/\pi(n - 1/2)},$$

$\varphi(\lambda) = -i\lambda/\pi \cdot \{1 - C + \ln[\pi/(2p)]\}$, $C = 0,5772\dots$ — постоянная Эйлера. Функция $\varphi(\lambda)$ определена таким образом, чтобы обеспечить алгебраический порядок поведения $K_+(\lambda)$ при $\lambda \rightarrow \infty$.

Для коэффициента интенсивности напряжения в этом случае получаем выражение

$$(3.14) \quad K_4(p) = p_0 p^{-3/2} (2\pi)^{-1/2} e^{p/2} \operatorname{ch}^{-1/2} p,$$

а с использованием граничного условия (3.13)

$$(3.15) \quad K_3(p) = p_0 p^{-3/2} (2\pi)^{-1/2} e^{p/2} \operatorname{sh}^{-1/2} p.$$

Используя связь асимптотики функций с асимптотикой ее преобразования Лапласа [7], из формул (3.10), (3.11) и (3.14), (3.15) получим, что при $i \rightarrow \infty$ $K_1(t) = p_0 t / \sqrt{\pi}$, $K_2(t) = p_0 / \sqrt{\pi}$, $K_3(t) = p_0 t / \sqrt{2\pi}$, $K_4(t) = p_0 / \pi \cdot \sqrt{2t}$. Сделав обратное преобразование Лапласа в формулах (3.10), (3.11) и (3.14), (3.15), получим

$$(3.16) \quad \begin{aligned} K_{1(2)}(t) &= (p_0/\pi) 2\sqrt{t} [1 \pm H(t-2) + (1/2)H(t-4) \pm (1/2)H(t-6) + \dots], \\ K_{3(4)}(t) &= (p_0/\pi) 2\sqrt{t} [1 \pm (1/2)H(t-2) + (3/8)H(t-4) \pm (5/16)H(t-6) + \dots], \end{aligned}$$

где $H(t-k) = \begin{cases} 1, & t \geq k \\ 0, & t < k \end{cases}$, нижние знаки в (3.16) соответствуют $K_2(t)$ и $K_4(t)$. Как видно из полученных решений при $t \ll 2$, т. е. пока не пришла отраженная волна от границы тела, они совпадают с точным решением для полубесконечной трещины в бесконечном упругом теле $K(t) = p_0/\pi \cdot 2\sqrt{t}$ [4].

Полученные точные решения (3.16) изображены штриховыми линиями 3 на фиг. 2 и 5 при $l_0 = 2h$. Решение для полубесконечной трещины в упругом теле изображено штриховой линией 4 на фиг. 2 и 5. Если для изолированной трещины отношение максимального значения динамического коэффициента интенсивности напряжения к статическому значению равняется 1,27 [4], то, как следует из сравнения кривых, отвечающих динамическому нагружению с соответствующими им кривыми для статических задач, видно, что это отношение зависит от геометрии задачи и может быть существенно больше.

Поступила 17 VII 1975

ЛИТЕРАТУРА

1. Костров Б. В. Неустановившееся распространение трещины продольного сдвига.— ПММ, 1966, т. 30, № 6.
2. Sih G. C., Embley G. T., Ravera R. S. Impact response of a finite crack in plane extension.— «Int. J. Solids and Struct.», 1972, vol. 8, N 7, p. 977—993.
3. Stephen A. Thau, Tsin — Hwei Lu. Transient stress intensity factors for a finite crack in an elastic solid caused by a dilatational wave.— «Int. J. Solids and Struct.», 1971, vol. 7, N 7, p. 731—750.
4. Мартынюк П. А., Шер Е. Н. О дифракции упругой волны на конечной трещине в условиях антиплоской деформации.— ПМТФ, 1974, № 3.
5. Рыжик И. М., Градштейн И. С. Таблицы интегралов, сумм, рядов и произведений. М., «Наука», 1963.
6. Bellman R., Kalaba R., Lockett J. Numerical inversion of the Laplace transform. Amsterdam, 1966.
7. Нобл Б. Применение метода Винера—Хопфа для решения дифференциальных уравнений в частных производных. М., ИЛ, 1962.

УДК 539.30

НЕКОТОРЫЕ АВТОМОДЕЛЬНЫЕ ЗАДАЧИ О РАЗВИТИИ ЗВЕЗДЧАТОЙ ТРЕЩИНЫ В УСЛОВИЯХ АНТИПЛОСКОЙ ДЕФОРМАЦИИ

П. А. Мартынюк, Е. Н. Шер

(Новосибирск)

Методом функционально-инвариантных решений Смирнова — Соболева [1—4] решается автомодельная плоская задача теории упругости о развитии из точки с постоянной скоростью в условиях антиплоской деформации системы равномерно распределенных по углу радиальных трещин.

Исследуемую постановку можно рассматривать как модельную для математически более сложной задачи плоской деформации.